

## II-6 拡幅を伴う流路変動(第2報)

九州大学 工学部 正員 平野 審夫

### 1. まえがき

前報において拡幅を伴う流路変動に関する計算式を導いた。断面形を指教関数と仮定して計算を行なったが、計算はかなり複雑であった。しかし、通常の河床変動計算にあけたより、断面形を矩形として取扱うと計算は非常に簡略化されるので以下に報告する。

### 2. 流砂の移動方向

図-1のように、横断方向に傾斜した斜面上を速度  $u_g$  で移動している砂粒を考える。まず、砂粒に働く流体力を  $D$ 、砂粒と河床砂礫との間の摩擦力を  $F$ 、砂粒の水中重量を  $W$  とする。移動速度が定常の場合

$$D \cos \delta - F \cos \gamma = 0 \quad \text{おもむく} \quad W \sin \theta - D \sin \delta - F \sin \gamma = 0$$

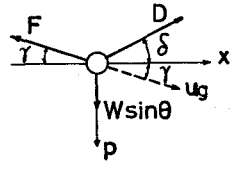


図-1

次に、この砂粒を、砂粒に作用する流水の流速  $u_g$  と同じ速度で移動し、かつから離れて下るとすると、砂粒は静水中を  $x$  方向の分速  $(u_a - u_g \cos \gamma)$ 、 $y$  方向の分速  $u_g \sin \gamma$  で図-2に示す方向に移動するようになるから。

$$\tan \delta = \frac{u_g \sin \gamma}{u_a - u_g \cos \gamma} \quad (1)$$

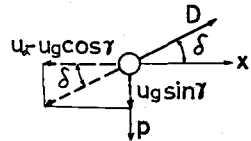


図-2

これらの式より

$$\begin{aligned} \tan \gamma &= \frac{\tan \theta}{\mu} \left[ \sec \gamma - \cos \theta + \left\{ \frac{T_{fc}}{T_*} \cos \gamma \cos \theta \right. \right. \\ &\quad \times \sqrt{\left( \frac{\tan \theta}{\mu \cos \theta} - \tan \gamma \right)^2 + 1} - 1 + \cos^2 \theta \left. \right\}^{1/2} \right] \end{aligned} \quad (2)$$

ここで、 $T_{fc} = u_{*d}^2 / sgd$ ,  $T_* = u_*^2 / sgd$ ,  $\mu$  は砂粒の摩擦係数である。 $\theta < \gamma$  のとき、 $\cos \theta = \cos \gamma = 1$  における場合は、

$$\tan \gamma = \frac{\tan \theta}{\mu} \sqrt{\frac{T_{fc}}{T_*}} \quad (3)$$

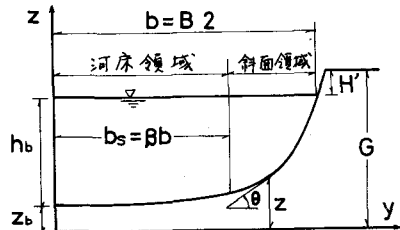


図-3

次に、単位幅当たり流砂量  $q_B$  の  $x$  方向の成分  $q_{Bx}$  が通常の流砂量の式

$$\frac{q_B}{u_{*d}} = K (T_* - T_{fc})^m \quad (4) \quad \text{ここで, } K \text{ および } m \text{ は定数}$$

で表わされるものとする。 $q_B$  の  $y$  方向の成分  $q_{By}$  は上式に式(3)を代入して

$$\frac{q_{By}}{u_{*d}} = \frac{q_{Bx}}{u_{*d}} \tan \gamma = K \frac{\tan \theta}{\mu} \sqrt{\frac{T_{fc}}{T_*}} (T_* - T_{fc})^m \quad (5)$$

### 3. 流路変動の計算式

図-3のよろに、断面を水平に近い河床領域と側壁近くの斜面領域とに分割すると、連続の条件より

$$(1-\lambda) \int_0^{b_s} \frac{\partial z}{\partial t} dy = q_{Bx} - \int_0^{b_s} \frac{\partial q_{Bx}}{\partial x} dy \quad \text{おもむく} \quad (1-\lambda) \int_{b_s}^b \frac{\partial z}{\partial t} dy = (1-\lambda) H \frac{\partial b}{\partial t} - q_{Bx} - \int_{b_s}^b \frac{\partial q_{Bx}}{\partial x} dy$$

ここで、 $\frac{\partial b_{ps}}{\partial t} = \frac{b_{ps}}{b}$  にあれば  $b_{ps}$  がわかる。これらの式を斜面勾配が  $1:N$  の台形断面に適用すると、

$$(1-N\frac{h_b}{b})\frac{\partial z_b}{\partial t} = \frac{\partial b_{ps}}{\partial t} - \frac{1}{(1-\lambda)b} \int_0^{b_s} \frac{\partial b_{ps}}{\partial x} dy \quad \dots \dots \dots (6)$$

$$\frac{h_b + H'}{b} \frac{\partial b}{\partial t} = N \frac{h_b}{b} \frac{\partial (h_b + z_b)}{\partial t} + \frac{\partial b_{ps}}{\partial t} + \frac{1}{(1-\lambda)b} \int_{b_s}^b \frac{\partial b_{ps}}{\partial x} dy \quad \dots \dots \dots (7)$$

また、 $b_s \neq b$  の場合、かつ、 $N \frac{\partial (h_b + z_b)}{\partial t} \ll \frac{\partial b}{\partial t}$  の場合には、

$$\frac{\partial z_b}{\partial t} = \frac{h_b + H'}{b} \frac{\partial b}{\partial t} + \frac{1}{(1-\lambda)b} \int_0^b \frac{\partial b_{ps}}{\partial x} dy \quad \dots \dots \dots (8)$$

$$\frac{\partial b}{\partial t} = \frac{\partial b_{ps}}{(1-\lambda)(h_b + H')} \quad \dots \dots \dots (9)$$

式(8)と(9)には  $\frac{\partial b}{\partial t}$  加入し、計算が非常に簡単にできる。さらに、 $\frac{\partial b_{ps}}{\partial x} = 0$  の場合、勾配と粗度が時間的に変化せず、かつ、 $y = b_s$  にあり  $\tan \theta = h_b/b$  と仮定すれば、式(8)、(9)が式(5)となり

$$\frac{db_t}{dt} = b_t^{-\frac{2}{3}(m+1)} \left( \frac{1-a_c b_t^{\frac{2}{3}}}{1-a_c} \right)^m \quad \dots \dots \dots (10)$$

ここで、 $a_c = (u_{*c}/u_{*0})^2$ ,  $b_t = b/b_s$ ,  $t = 8b_{ps}/(1-\lambda)b(h_b + H')$  は時刻  $t=0$  における値である。

#### 4. 計算値と実験値の比較

$\tan \theta = h_b/b$  とし、前報と同様  $K=2.7$ ,  $m=1$ として式(5)より計算した  $b_{ps}$  と、 $\frac{\partial b}{\partial t}$  の実測値を用いて式(9)より計算した  $b_{ps}$  を比較すると図-4のようである。また、式(10)において  $m=1$  として積分した式

$$t = 3(1-a_c) \left\{ \frac{1-b_t^{\frac{5}{3}}}{5a_c} + \frac{1-b_t^{\frac{1}{3}}}{3a_c^{\frac{2}{3}}} + \frac{1-b_t^{\frac{1}{3}}}{a_c^{\frac{2}{3}}} + \frac{1}{2a_c^{\frac{2}{3}}} \log \left( \frac{1+\sqrt{a_c}b_t^{\frac{1}{3}}}{1-\sqrt{a_c}b_t^{\frac{1}{3}}} \frac{1-\sqrt{a_c}}{1+\sqrt{a_c}} \right) \right\} \quad \dots \dots \dots (11)$$

によると計算値と中流域における  $b$  の実測値を比較したもののが図-6である。さらに、式(8), (9)と不等流の式を併用して計算結果と実験結果を比較すると図-6のようである。いずれも、計算値と実測値はよく一致している。

#### 参考文献

- 平野宗夫・田中耕一・北畠清仁：拡幅を伴う流れ変動、西部支那研究発表会論文集(昭46.2)

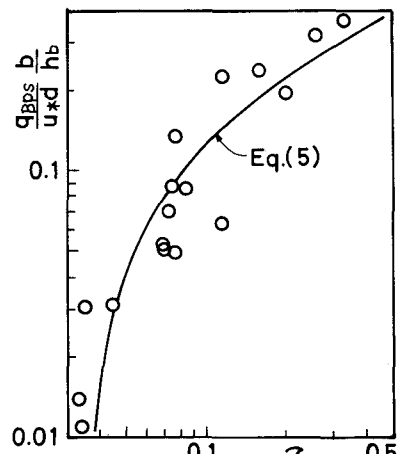


図-4

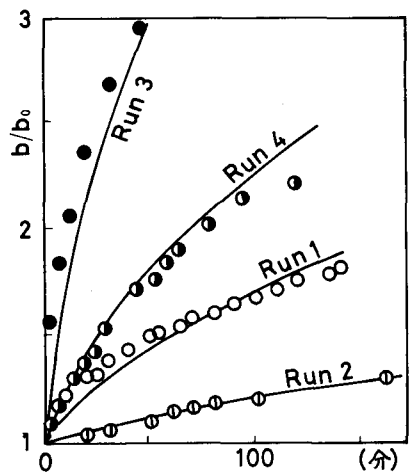


図-5

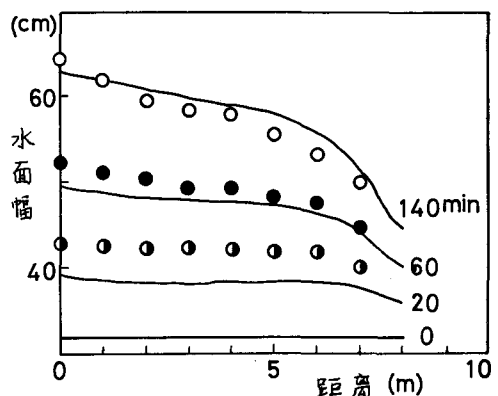


図-6